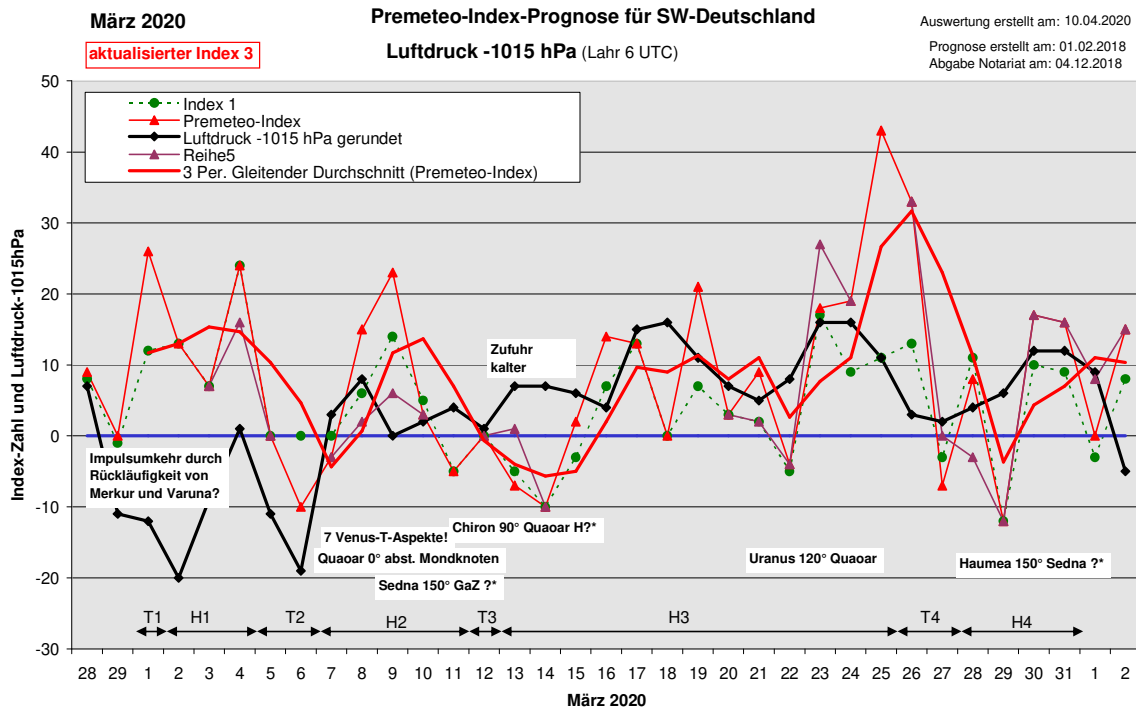


## Wetterlagenverlauf März 2020 im Vergleich zur Premeteo-Indexprognose für Südwest-Deutschland

(Im Diagramm sind über der Datumsachse die real eingetreten Hoch- und Tiefdruckphasen durch Doppelpfeile eingetragen. Ausschlaggebend für die Evaluation ist der tägliche Premeteo-Index, in der dünneren, roten Linie mit Dreieckspunkten dargestellt. Ein negativer Premeteo-Index zeigt die Wahrscheinlichkeit für eine zyklonale Tiefdruckströmung, ein positiver Premeteo-Index die Wahrscheinlichkeit für eine antizyklonale Hochdruckströmung an.

Die Wetterlagenbeschreibungen wurden anhand der Berliner Wetterkarten erstellt. Ausschlaggebend ist die Europa-Bodenkarte um 0 UTC, die feiner skalierte 12 UTC-Karte von Mitteleuropa wird nur bei einem Wetterlagenwechsel für die Einordnung des Tages hinzugezogen. Am Ende des Dokuments befinden sich die Tabellen und Konstellationen, die dem Diagramm zugrunde liegen.)



**Zusammenfassung:** Der März 2020 war als Prognosemonat mit 23 bezüglich der Wetterlage richtig prognostizierten Tagen zufrieden stellend.

Von den acht Fehlprognosetagen waren sechs negativ prognostiziert und sie traten in fünf Fällen durch den Zustrom kalter Luftmassen ein, wobei in vier Fällen die Strömung auf 500 hPa zyklonal war und der Premeteo-Index nur geringe Werte aufwies.

Interessant waren die zwei Fehlprognosen bei hohem Premeteo-Indexwert am 1. und am 26. des Monats. Am 1. März könnte es sich um eine Impulskehr durch die Rückläufigkeit von Merkur und Varuna handeln, während es am 26. mit hohem positiven Index bei der Sonne innerhalb von 24 Stunden zu einem auffallenden Wechsel von einem Hf-Aspekt zu zwei T-Aspekten kam.

Da es überhaupt nur sechs reale Tiefdrucktage in diesem Monat gab, fiel deren mittlerer Premeteo-Indexwert durch diese beiden Fehlprognosen des 1. und 26. März positiv aus. Doch er blieb noch unter dem Monatsmittelwert der realen, antizyklonalen Phasen, so dass er der Hypothese nicht total widersprach (siehe genaue Zahlenangaben im Text ganz unten).

Der wärmste Tag des Monats mit einer Tagesmitteltemperatur von 13,2° C war der 11. März. Er war gekennzeichnet durch Sonne 60° Jupter AW / 144° Haumea T, Chiron 90° aufst. Mondknoten A\* und Juno 150° Neptun K\*.

Zwei besonders kalte Phasen mit teilweise Frost in der Nacht traten in Lahr mit Tagesmitteltemperaturen zwischen 4° und 5°C vom 23. bis 26. und am Ende des Monats am 30. / 31. mit Tagesmitteltemperaturen von 3,5° und 3,4°C auf. Das Einsetzen der ersten Phase war deutlich gekennzeichnet durch die Konjunktion von Pallas mit Jupiter nachdem Mars seine zuvor ebenfalls bestehende Konjunktion mit Jupiter beendet hatte! (Schon das Einsetzen der Konjunktion von Pallas mit Jupiter am 21. brachte einen starken Temperaturabfall mit sich. Zu einer vorübergehenden Unterbrechung der Kaltphase vom 27. bis 29. kam es mit Pluto 72° Apogäum.) An den beiden letzten Tagen des Monats war die Kälte begleitet von Ceres 45° Apogäum, Venus 0° Sedna sowie Mars 0° Saturn. Außerdem wurde die Symmetrie Pallas 0° Jupiter / 0° Pluto exakt.

Luftdruckmaxima in Lahr um 6 UTC traten am 18. und 24. März auf. Das Maximum am 18. vollzog sich zwischen Merkur 144° Makemake Hf am 16. und Merkur 150° Varuna Hf am 19. März. Es baute sich über Sonne 90° GaZ H und die Asteroiden H\*-Aspekte Juno 120° Ceres und Vesta 144° Quaoar auf. Merkur 150° Varuna ist ebenfalls ein Hf-Aspekt und dürfte für das zweite Luftdruckmaximum am 24. neben Mars 0° Pluto Hf, Uranus 120° Quaoar H\* und Ceres 45° Quaoar H\* mitverantwortlich gewesen sein.

Mit dem Beginn der Konjunktion des mittleren, absteigenden Mondknotens mit Quaoar am 24. Februar (exakte Konjunktion am 9. März) setzte eine Labilisierung der Atmosphäre ein, in der starke Luftdruckminima auftraten und deren Labilität bis zum 12. März anhielt. Die beiden tiefsten Minima Anfang März in Lahr 6 UTC ereigneten sich am 2. und 6., wobei es sich am 2. wie schon oben erwähnt um eine Impulsumkehrung handeln könnte, da keine T-Aspekte auftraten. Der 6. dagegen zeichnete sich ganz klar durch den exakten 72°-Winkel der Sonne zur Mondknoten-Quaoar-Konjunktion aus: Sonne 72° Quaoar T / 72° abst. Mondknoten TW.

### **Beschreibung der einzelnen Wetterphasen:**

**Tiefdruckphase 1:** Der März 2020 begann bei einem Premeteo-Index von +26 mit einem Tiefdrucktag durch Tief Charlotte I und II mit Kernen bei Schottland und über Südsandinavien, der wieder eine Impulsumkehrung zu sein schien. Auffällig war dabei der Aspekt Merkur 150° Varuna Hf um 13:39 UTC, wobei sich sowohl Merkur als auch Varuna in einer rückläufigen Relativbewegung gegenüber der Erde befanden. Solche Rückläufigkeiten wurden schon öfter bei Impulsumkehrungen beobachtet.

**Hochdruckphase 1:** Trotz weiter fallenden und sehr tiefen Luftdrucks lag Südwestdeutschland am 2. um 0 UTC unter den Einfluss eines Hochs mit Kern über Südfrankreich und ebenso am 3., wobei der Kern jetzt über dem Atlantik südlich Portugals lag, so dass diese beiden Tage trotz des extrem tiefen Luftdrucks einer antizyklonalen Strömung zugerechnet werden mussten, was dem Premeteo-Index entsprach. Am 4. dehnte sich ein Keil des Hochs mit Kern über Madeira bis nach Deutschland aus. Der Premeteo-Index summierte über die 3-tägige Hochdruckphase auf +44.

**Tiefdruckphase 2:** Tief Elli mit Kern über dem Ostatlantik erreichte am 5. mit seinem Isobarenbereich Westdeutschland. Am 6. hatte es drei Kerne über Nordwestdeutschland, Norditalien und den Beneluxländern ausgebildet und der Luftdruck erreichte passend zum Premeteo-Index sein Minimum. Der Premeteo-Index summierte über die 2-tägige Tiefdruckphase auf -10.

**Hochdruckphase 2:** Der Kern von Tief Elli lag um 0 UTC des 7. noch über Nordostdeutschland, doch setzte sich bis 12 UTC schon das Azorenhoch über unserer Region durch. Am 8. hatte sich ein Hochdruckkern über Süddeutschland ausgebildet. Dann fiel erneut der Luftdruck und Tief Flora mit Kern über dem Nordmeer dehnte um 0 UTC kurzzeitig seinen Einfluss über ganz Deutschland aus. Die südwestdeutsche Region lag um 12 UTC jedoch schon wieder im Einflussbereich des Azorenhochs, das auch am 10. und 11. flach über die Region reichte. Vom 9. bis zum 7. wurden sieben Venus-T-Aspekte exakt, die bewirkten, dass das Wetter trotz des positiven Premeteo-Index und trotz der antizyklonalen Lage mit kräftigen Wind und Regen sehr wechselhaft war. Der absteigende Mondknoten kam am 9. mit Quaoar in den exakten Moment seiner Konjunktion und am 10. wurde der

unbekannte Aspekt Sedna 150° GaZ ?\* exakt. Am 11. hatte das Azorenhoch noch einen Kern über den Pyrenäen und über Nordalgerien. Der Premeteo-Index summierte über die 5-tägige Hochdruckphase auf +33.

**Tiefdruckphase 3:** Tief Hanna über der Nordsee dehnte sich am 12. über ganz Deutschland aus. Der Premeteo-Index hatte den Wert 0. (An diesem Tag war ein Prognosefehler unterlaufen: Die Auslösung der Pallas-Symmetrie um 22 UTC hätte entsprechend der Prognoseregeln dem 13. zugeordnet werden müssen. Die Korrektur ist in grüner Schriftfarbe gekennzeichnet.)

**Hochdruckphase 3:** Trotz des negativen Premeteo-Index am 13. und 14. trat eine zyklonale Strömung nur auf 500 hPa ein und setzte sich aufgrund eingeflossener Kaltluft an der Rückseite von Tief Gisela nicht bis in die Bodenatmosphäre durch. Ein Grund könnte hierfür auch der am 13. exakt gewordene Aspekt Chiron 90° Quaoar H?\* sein (siehe Tabelle), der wegen seines noch seltenen Auftretens nur im alternativen Index eingerechnet worden war und da zu einem flachen, positiven Premeteo-Index beitrug. Es kam zu einem Vorstoß des Azorenhochs und am 14. bildete sich der Kern von Hoch Helge über der Nordsee aus und brachte eine ruhige, kühle Frühlingsstimmung. Am 15. wanderte Hoch Helge von Polen zu den Kaparten und lag am 17. mit seinem Kern über den Ostkaparten. Über der Biskaya rückte am 18. Hoch Ingolf nach, das bis zum 20. seinen Kern über die Alpen hinweg zum südlichen Balkan verlagerte. Vom 16. bis zum 20. bewirkten einfließende subtropische Luftmassen eine warme und lichte Frühlingsatmosphäre, die mit Juno 120° Ceres H\* am 16. einherging. Zu diesem Zeitpunkt setzte auch die Konjunktion von Mars mit Pallas ein und am 19. und 20. befand sich Mars sowohl in Konjunktion mit Pallas als auch mit Jupiter. Zu einem radikalen Luftmassenwechsel kam es am 21., als Hoch Jürgen mit Kern vor Südwestnorwegen nachrückte und maritime Subpolarluft auf maritime Subtropikluft traf. Nun begann auch die Konjunktion von Pallas mit Jupiter, die erst am 28. exakt sein würde und Mars wechselte von seiner Konjunktion mit Jupiter am 20. zu seiner Konjunktion mit Pluto am 23. März. Hierbei kam es zu einer Abkühlung der Atmosphäre. Mit Uranus 120° Quaoar H?\* und Mars 0° Pluto Hf intensivierte sich am 23. die Antizyklonalität der Atmosphäre deutlich. In der Nacht gab es Frost. Der Kern von Hoch Jürgen erreichte am 24. das Baltikum und verlagerte sich zum 25. etwas nach Süden über den osteuropäischen Raum. Während das Luftdruckmaximum dieser Hochdruckphase schon am 24. eintrat, erreichte der der Premeteo-Index erst am 25. mit +43 Punkten seinen Höhepunkt. Inzwischen hatte schon ein deutlicher Luftdruckfall eingesetzt. Der Premeteo-Index summierte über die 5-tägige Hochdruckphase auf +33.

**Tiefdruckphase 4:** Am 26. reichte Tief Liebgard über Korsika noch bei einem Premeteo-Index von +33 bis über West- und Süddeutschland, am 27. bei einem Premeteo-Index von -7 dehnte sich das Tief flach über ganz Deutschland aus. Die Sonne wechselte noch am 26. in ihrer Aspektierung von Sonne 180° Makemake Hf zu Sonne 0° Apogäum TW / 72° Pluto T, so dass die Tagesmitteltemperatur deutlich anstieg. Der Premeteo-Index summierte über die 2-tägige Tiefdruckphase auf +26.

**Hochdruckphase 4:** Um 0 UTC des 28. März lag Deutschland noch immer im flachen Einflussbereich des okkludierten Tiefs Liebgard über dem Tyrrhenischen Meer, aber bis 12 UTC hatten sich die Isobaren schon zum Kern von Hoch Keywan orientiert, der am 29. südlich von Island lag. Dieser Tag hatte einen Premeteo-Index von -12 und es kam zu einem Kaltluftvorstoß mit dichter Bewölkung und etwas Schneefall bis in die Niederungen, so dass das Wetter dem Premeteo-Index entsprach. Bis zum 31. verlagerte sich der Kern des Hochs nur wenig Richtung Süden und bildete am 31. einen weiteren Kern über Südschweden aus. Der Premeteo-Index summierte über die 4-tägige Hochdruckphase auf +29.

SW-D befand sich an 25 Tagen im Einflussbereich antizyklonaler Strömung. Die Summe des prognostizierten Premeteo-Index für diese Tage ergab +227. Dies entsprach einer Indexzahl von +9,08 pro Tag.

An 6 Tagen befand sich SW-D im Einflussbereich zyklonaler Strömung. Die Summe des prognostizierten Premeteo-Index für diese Tage ergab +42. Dies entsprach einer Indexzahl von +7,00 pro Tag.

Die Prognose durch die Premeteo-Wettersymbole war an 4 Tagen falsch (am 2., 4., 9., 13.),  
an 9 Tagen richtig und an 18 Tagen tendenziell richtig.

Zu den Tabellen



10.04.2020

März 2020



Prognose für SW-Deutschland

01.03.2020

aktualisierter Index 3

Chiron 0° Apogäum hatte am 16.02.2020 begonnen und hält bis zum 22.03.2020 an. Quaoar 0° absteigender Mondknoten hatte am 24.02.2020 begonnen und hält bis zum 26.03.2020 an. Vom 10. bis 15. Vesta 0° Sedna. Vom 19. bis 21. Dreierkonjunktion Mars-Pallas-Jupiter, am 22. Viererkonjunktion Mars-Pluto-Jupiter-Pallas. Am 26. Dreierkonjunktion Sonne-Chiron-Apo, Pallas 0° Jupiter vom 21. bis 31.. Vom 28. bis 31. Dreierkonjunktion Jupiter-Pluto-Pallas. Vom 7. bis zum 10. kommt es zu einer Häufung von Venus-T-Aspekten: Impulskehrung von 8 bis 10. oder H von Osten? Am 26. treten im Index 2 eine Reihe unbekannter Aspekte auf: Var 60 Ves GSZ (18) A\* ? ? A\* und Sed 150 Hau GaZ (23) ? ? ? ?.  
Die rot markierten Aspekte im Index 3 sind Aspekte, bei denen der ursprüngliche Konjunktionsplanet den höheren Rang hat als der Partnerplanet. Das bedeutet, dass der Konjunktionsplanet bei diesen Aspekten immer als Planet 2 auftritt. Diese Aspekte werden ab Januar 2020 nicht mehr angerechnet.

Langsamläufer-Impulse	H*	H*	H?*				H*	H*	H*, ?*	
Schnellläufer-Impulse	2H, Hf	4H	H	Hf		2T	2H	2T, H	Hf, T, H	T K?
Temperaturimpulse	K	W?	W	W	K	W	T	K?, W, K?	W, K	
Premeteo-Index -zyklonal, + antizyklonal (Index 1+2+3)	26	13	7	24	0	-10	-3	15	23	3
Pre.IX (ALTERNATIV)				16				2	6	
Index 1 (12 - 12 UTC) exakte Aspekte des Tages	12	13	7	24	0	0	0	6	14	5
Index 1 (ALTERNATIV)				16				4	8	
Symmetrien (0 - 0 UTC)	Qua 67 Son Hau (12) H ... Mer 150 Var GSZ (13) Hf K A ? +14	Son 75 Sed GaZ (03) ? ... Mar 6 Pal Qua (14) A H ...	Son 45 Ven Sat (08) A K A H W ... Ven 5 Ura Eri (21) T H ...	Plu 4 Jup Sat (13) H* H?*(4/2) ... Sat 91 Ven Hau (15) H W T*(4/12/4) H ? Jup 8 Mar Sat (19) A A*(4/6/5) ...	Qua 8 Mar GaZ (00) H H?*(3/0) ... Nep 35 Eri Cer (04) T ... Mar 8 Jup Qua (13) A H ... Son 71 Qua Sed (22) T A ?-?		Eri 4op Jun Hau (11) A* ? ... Hau 4op Ven Eri (15) H ? ? ...	Chi 2op Mak GSZ (01) H?*(4/2) T?*(1/5) ... Ves 67 Nep Var (09) H*(11/3/5) ... Jun 15op Ura Chi (22) H* (8/3) ...	Mar 10 Plu Qua (12) Hf H ...	Qua 76 Son Jun (16) Hf ...
Index 2 (12 - 12 UTC)	14	0	0	0	0	-7	0	0	0	0
Index 2 ALTERNATIV										
ausgelöste Aspekte (= durch Konjunktionen aktivierte Aspekte)	(Chi 30 Ura H8) Ura 120 Qua H?*(6/2) Chi 90 Qua H?*(5,5/2)	(Chi 30 Ura H8) Ura 120 Qua H?*(6/2) Chi 90 Qua H?*(5,5/2)	(Chi 30 Ura H8) Ura 120 Qua H?*(6/2) Chi 90 Qua H?*(5,5/2)	(Chi 30 Ura H8) Ura 120 Qua H?*(6/2) Chi 90 Qua H?*(5,5/2)	(Chi 30 Ura H8) Ura 120 Qua H?*(6/2) Chi 90 Qua H?*(5,5/2)	Son 72 Qua T-3 (Chi 30 Ura H8) Ura 120 Qua H?*(6/2) Chi 90 Qua H?*(5,5/2)	Son 72 Qua T-3 (Chi 30 Ura H8) Ura 120 Qua H?*(6/2) Chi 90 Qua H?*(5,5/2)	Ven 45 Nep T 0/-2 (Chi 30 Ura H8) Pal 60 Nep H5 Ura 45 Nep H?*(4/0)K*+9/0 Ura 120 Qua H?*(6/2) Chi 90 Qua H?*(5,5/2)	Pal 20 Qua T0/-2 (Chi 30 Ura H8) Pal 60 Nep H5 Ura 45 Nep H?*(4/0)K*+9/0 Ura 120 Qua H?*(6/2) Chi 90 Qua H?*(5,5/2)	Ven 120 Qua T-2 (Chi 30 Ura H8) Ura 120 Qua H?*(6/2) Chi 90 Qua H?*(5,5/2) Hau 150 Sed ?* Sed 150 GaZ ?*
Index 3 (Summe)	0	0	0	0	0	-3	-3	9	9	-2
Index 3 ALTERNATIV										
Symbol-Prognose	2	2	3	2	3	5	3	2	2	3
Symbol-Prognose altern.	2	2	3	2	3	5	3	2	2	3
Wochentag	So	Mo	Di	Mi	Do	Fr	Sa	So	Mo	Di
Datum	1	2	3	4	5	6	7	8	9	10
reale Wetterlage	T1: H*, Hf, 2H/+26	H1: 2H*, Hf, 5H / +44			T2: 2T / -10		H2: H*, 2H*, Hf, 4H - 5T - ?* / +33			
Luftdruck (hPa) 06 UTC	1003,1	994,8	1005,8	1015,8	1003,9	995,7	1017,8	1022,8	1015,3	1016,6
mittl. Temp.(°C)	9,7	5,9	5,2	5	8,2	6,7	5,4	7,4	7,7	7,9
Sonnenscheindauer (h)	3	0,1	0,6	3,2	0	0	1,3	5,2	4,5	0
Niederschlag (Liter)	0,6	7,0 / 5	2,6 / 11	0,1 / 2	17,0 / 11	1,1 / 9,5	0 / 1	4,4 / 11	1,7 / 4	7,2 / 4
Bodenwetterlage 00 UTC (Kernlage des Druckgebiet, das SW-D beeinflusst)	T bei Schottl u ü S-Skand	H ü S-F	H s Portu	Keil von H ü Madeira	T ü O-Atl	T mit Kernen ü NW-D u N-Ital	T ü NO-D, Azor-H	H ü S-D	T ü Nm	Azor-H
Bodenströmung 12 UTC zyklonal (z), antizyklonal (a)	fl z	z	a	a	z	a-z	a	fl z	a	fl a
Strömung auf 500 hPa 00 UTC	SW fl z	W z	W z	NW z	NW a	W z	NW z	N a	SW fl z	NW fla
zutreffende Wettersymbole	3 hr	5 f	5 hr	5 f	5 hr	5 r	5 hr	2-5 hr	3-5 f	5 hr

Übertrag	08:04	00:29	02:00	01:00	02:40	16:33	01:09	04:16	01:53	04:30
Index 1: -5	SON 180 ORC	SON 30 CER	JUP 90 JUN	MER 144 MAK	SON 72 SED	SON 72 QUA	MER 30 SAT	QUA 90 APO	SON 150 JUN	JUN 90 PAL
Index 2: 0	FIS 11*12'08" JUN 11*12'07" H +6	FIS 11*53'20" WAS 11*53'20" A	STE 19*55'33" WAA 19*55'33" A*	FIS 00*16'40" WAA 06*16'41" Hf +14	FIS 14*59'15" STI 26*59'15" A	FIS 16*34'04" STE 04*34'03" T -3	WAS 28*44'11" STE 28*44'11" A	STE 04*35'01" WID 04*35'01" A*	FIS 18*25'23" WAA 18*57'23" Hf -9	WAA 18*45'24" STE 18*45'25" H* +5
	10:47	08:49	12:51	12:24	04:55	21:03	03:09	05:38	02:22	19:24
	MAR 72 EL6 STE 09*37'41" WAA 27*37'40" H +4	CER 45 GaZ WAS 12*01'10" SCH 27*01'10" H* +5	SON 45 SAT FIS 13*24'31" STE 28*24'31" A	PLU 120 VES STE 24*20'39" STI 24*20'39" A*	SON 45 VEN FIS 15*04'53" STI 00*04'53" A K	SON 72 KN2 FIS 16*45'19" STE 04*45'20" T W -6	VEN 90 VAR STI 02*11'11" FIS 18*23'06" LÖW 02*11'11" H -	VEN 45 NEP STI 02*23'06" FIS 18*23'06" T K? 0/-2	PAL 60 NEP STE 18*25'04" FIS 18*25'04" H* +5	VEN 150 FY9 STI 06*09'29" WAA 06*09'28" T K? -2
	11:39	09:18	15:52	20:40	06:35	06:35	06:35	06:48	03:41	20:13
	MER 150 GSZ FIS 02*20'32" WAA 02*20'32" A	VEN 30 SED WID 26*58'28" STI 26*58'28" H +2	MAR 120 ORC STE 11*09'23" JUN 11*09'23" A	MAR 135 SED STE 11*59'10" STI 26*59'11" A	VEN 150 GSZ STI 02*20'32" WAA 02*20'33" T -2	SON 60 PAL FIS 18*09'42" STE 18*09'43" A	SON 45 URA FIS 18*09'42" STI 04*01'53" A	SED 150 GaZ STI 27*01'14" SCH 27*01'14" ?*		
	12:55	10:17	16:46	21:25	06:44	12:25	04:16			
	SON 72 VES FIS 11*24'19" STI 23*24'18" A	VEN 120 GaZ WID 27*01'11" SCH 27*01'10" A	VEN 90 SAT WID 28*25'27" STE 28*25'27" H W +2	MER 60 VEN WAS 29*44'20" WID 29*44'18" A W	MER 45 MAR WAS 28*39'36" STE 13*39'35" H +1	SON 0 NEP FIS 18*23'44" FIS 18*23'44" H W +6	VEN 30 CHI STI 04*24'17" WID 04*24'17" A			
	13:39	15:06	21:01		07:20	19:17	08:31			
	MER 150 VAR FIS 02*15'56" LÖW 02*15'55" Hf K +7	MER 45 PAL FIS 01*20'29" STE 16*20'30" H +1	CHI 0 APO WID 04*06'16" WID 04*06'16" H?*(8/2,5) +8 / 0		SON 135 VAR FIS 17*11'02" LÖW 02*11'03" A	APO 90 KN1 WID 04*39'12" KRE 04*39'12" A	VEN 120 QUA STI 04*35'45" STE 04*35'45" T 0/2			
	15:51	17:46	22:15		08:13	19:38	08:07			
	VES 30 ERI STI 23*26'35" WID 23*26'35" H* +5	SON 135 Hau FIS 12*36'41" WAA 27*36'42" H +3	SON 144 JUN FIS 13*48'04" WAA 19*48'04" A		VES 144 JUN STI 25*15'23" WAA 19*15'23" H* +10	VEN 0 URA STI 04*00'58" STI 04*00'60" T K? 0/4	VEN 60 KN1 STI 04*37'22" KRE 04*37'22" A W ...			
	16:27	23:03			21:26	19:28	19:18			
	VEN 135 ORC WID 28*11'43" JUN 11*11'43" A	VEN 180 Hau WID 27*36'32" WAA 27*36'31" H W? +4			MAR 30 CER STE 14*05'01" WAS 14*05'02" A	VEN 90 APO STI 04*43'42" WID 04*43'43" H K ...	QUA 180 KN1 STE 04*36'02" KRE 04*36'02" A?*(2,5/4)			





**März 2020**  **Prognose für SW-Deutschland**  
 [aktualisierter Index 3]

**Chiron 0° Apogium** hatte am 16.02.2020 begonnen und hält bis zum 22.03.2020 an. **Quaoar 0° absteigender Mondknoten** hatte am 24.02.2020 begonnen und hält bis zum 26.03.2020 an. Vom 10. bis 15. **Vesta 0° Sedna**. Vom 19. bis 21. **Dreierkonjunktion Mars-Pallas-Jupiter**, am 22. **Viererkonjunktion Mars-Pluto-Jupiter-Pallas**. Am 26. **Dreierkonjunktion Sonne-Chiron-Apo**. Pallas 0° Jupiter vom 21. bis 31. Vom 28. bis 31. **Dreierkonjunktion Jupiter-Pluto-Pallas**. Vom 7. bis zum 10. kommt es zu einer Häufung von Venus-T-Aspekten: Impulslenkung von 3 bis 10, oder H von Osten? Am 26. treten im Index 2 eine Reihe unbekannter Aspekte auf: Var 60 Ves GSZ (18) A° ?° A° und Sed 150 Hau GaZ (23) ?° ?° ?°. Die rot markierten Aspekte im Index 3 sind Aspekte, bei denen der ursprüngliche Konjunktionsplanet den höheren Rang hat als der Partnerplanet. Das bedeutet, dass der Konjunktionsplanet bei diesen Aspekten immer als Planet 2 auftritt. Diese Aspekte werden ab Januar 2020 nicht mehr angerechnet.

Langsamläufer-Impulse			H2°, H'		H'	H'	H'	T'	H'	?', H'	
Schnellläufer-Impulse	H	2T, H	2H, 2H'	H, T	3T	2H', 2H, 4T			T	H	
Temperaturimpulse		K	K?, 2W	K, K?, W	K, W	W		2W	K	W, W?	
Premeteo-Index -zyklonal, + antizyklonal (Index 1+2+3)	9	-4	18	19	43	33	-7	8	-12	17	
Pre.IX (ALTERNATIV)	2		27				0	-3			
Index 1 (12 - 12 UTC) exakte Aspekte des Tages	2	-5	17	9	11	13	-3	11	-12	10	
Index 1 (ALTERNATIV)			26				-4	0			
Symmetrien (0 - 0 UTC)	Mar 1 Plu Pal (06) H A +70 Jun 1 Mar Pal (23) A T -07	Mar 1 Jup Plu (00) A H +7 Mer 60 Ura Qua (14) T H H?(62)?	Chi 30 Ura Mer (17) H' (83) A T ---	Cer 45 Chi Qua (05) H' H' H?(5,52) Son 20p Mak GSZ (07) H T ? Ven 150 Qua Mak (12) H A ?° +7 Chi 45 Ven Cer (16) A W Wst' A K? ---	Plu 1 Mar-Jup (02) H' H' +14 Ven 144 Jun GaZ (12) A H° A? +7 Mak 135 Ven Cer (12) A H° A? +14 Plu 2 Mar Pal (13) H' A' (+14) Var 60 Ves GSZ (18) A° ?° A° ? Sed 150 Hau GaZ (23) ?° ?° ?°	Mer 3 Sat Plu (06) T A -7 Jun 143 Ven Mer (08) A H A W +14 Mer 45 Pal Eri (09) H A A ? Mer 143 Jun Var (11) H A A? (45) Mar 3 Sat Plu (08) T H ? Mar 23 Qua Cer (23) H° --- Mak 180 Son Chi (12) H H?(42) --- GaZ 72 Jun Mer (14) A° T H° -7 Sed 5 Ven Ves (14) H W A° ---	Mer 75 Sed GaZ (11) ?° --- Jun 72 Var GaZ (20) A° A° ?° ---	Son 40p Jun Mak (08) A H° +7 Pal 0 Jup Plu (21) T A° H° ---	Mer 22 Chi Cer (00) H' --- Cer 22 Mar Mer (10) H --- Ven 150 Hau GaZ (13) H A ?° +7 Nep 74 Ves Qua (15) H° ---		
Index 2 (12 - 12 UTC)	7	0	0	7	21	14	-7	0	0	7	
Index 2 ALTERNATIV	0										
ausgelöste Aspekte (= durch Konjunktionen aktivierte Aspekte)	Chi 30 Ura H8 Cer 45 Qua H5 Ura 120 Qua H7(62) Chi 90 Qua H7(5,52) Chi 180 Mak H7(42)	Mer 60 Qua H1 (Chi 30 Ura H8) Plu 72 Apo H11 Cer 45 Qua H5 Ura 120 Qua H7(62) Chi 90 Qua H7(5,52) Chi 180 Mak H7(42)	Mer 60 Qua H1 Ven 135 Qua H2 Plu 72 Apo H11 Cer 45 Qua H5 Ura 120 Qua H7(62) Chi 90 Qua H7(5,52) Chi 180 Mak H7(42)	Ven 135 Qua H2 Son 90 Qua H3 Cer 45 Qua H5 Ura 120 Qua H7(62) Chi 90 Qua H7(5,52) Chi 180 Mak H7(42)	Son 90 Qua H3 Chi 30 Ura H8 Cer 45 Qua H5 Ura 120 Qua H7(62) Chi 90 Qua H7(5,52) Chi 180 Mak H7(42)	Son 180 Mak H3 Chi 30 Ura H8 Cer 45 Qua H5 Ura 120 Qua H7(62) Chi 90 Qua H7(5,52) Chi 180 Mak H7(42) Auslösung durch Index-2 Pal 0° Jup T° -5	Son 180 Mak H3	Son 72 Plu T-3 Plu 72 Apo H11 Orc 135 Plu 70 #	Ven 120 Plu T-2 Plu 72 Apo H11 Orc 135 Plu 70 #	Ven 120 Plu T-2 Plu 72 Apo H11 Orc 135 Plu 70 #	Plu 72 Apo H11 Sed 144 Kn2 H12 Orc 135 Plu 70 # Hau 150 Sed 7° Sed 150 GaZ 7°
Index 3 (Summe)	0	1	1	3	11	6	3	-3	0	0	
Index 3 ALTERNATIV											
Symbol-Prognose	3	3	2	2	2	2	3	3	3	2	
Symbol	3	3	2	2	2	2	3	3	3	2	
Wochentag	Sa	So	Mo	Di	Mi	Do	Fr	Sa	So	Mo	
Datum	21	22	23	24	25	26	27	28	29	30	
reale Wetterlage						T4: 4T -Hf, H°, 2H, 2H' / +26		H4: 2H', 3H - T', 2T - ?' / +29			
Luftdruck (hpa) 06 UTC	1019,7	1023,3	1031	1031,2	1025,8	1017,6	1016,5	1018,7	1020,6	1026,7	
mittl. Temp.(°C)	6,3	6,2	4,4	4,5	4,7	4	6,1	8,7	4,9	3,5	
Sonnenscheindauer (h)	0	8,4	11,5	11,6	11,3	9,1	11,3	11,1	0,9	9,2	
Niederschlag (Liter)	5,5 / 8	0	0	0	0	0	0	0	2,4 / 3	0	
Bodenwetterlage 00 UTC (Kernlage des Druckgebiets, das SW-D beeinflusst)	H vor SW-Norw	H ü S-Schweden u Finnland	H ü Balti	H ü Balti	H ü O-Eu	T mit Kernen über u F, H ü Belarus	T ü Tyrhm	okkl T ü Tyrhm	H ü NO-Atl	H w Schottl	H mit Kernen ü O-Atl u S-Schwed
Bodenströmung 12 UTC (zyklonal (a), antizyklonal (a))	fl a	a	a	a	a-z	fl a	a	fl a	a-z	a-z	
Strömung auf 500 hpa 00 UTC	N fl a	W fl z	NNO a	NO fl z	O z	ONO z	W fl z	O a	NW a z	SW z	
zutreffende Wettersymbole	5 hr	2-3 hr		2 r	2 r	2 r	2 hr	2 hr	5 hr	2 r	

01:09	04:38	01:59	00:50	02:09	01:52	11:43	03:07	02:58	01:10	03:21
NEP 30 CER FIS 18°52'08" WAS 18°52'08" A°	SON 120 VAR WID 02°01'09" LOW 02°01'10" A°	VEN 45 KN1 STI 18°53'49" KRE 03°53'50" A° K	SON 90 KN1 WID 03°50'48" KRE 03°50'48" A° K	VEN 135 FY9 STI 20°53'26" WAA 05°52'18" HI +5	<b>SON 180 MAK</b> WID 05°52'19" WAA 05°52'18" HI +5	MER 45 PLU FIS 09°46'59" STE 24°46'60" A° W	VEN 120 PAL STI 23°5'11" STE 23°5'11" A° W	VEN 120 PLU STI 24°48'20" STE 24°48'21" T K 2	<b>SED 150 HAU</b> STI 27°10'19" WAA 27°10'19" A°	MER 150 JUN FIS 14°10'51" WAA 14°10'51" A°
09:09	10:28	03:10	03:50	05:05	04:58	11:49	04:26	12:39	01:26	11:21
CER 135 KN1 WAS 18°59'15" KRE 03°59'15" A°	MAR 72 APO STI 24°10'20" WID 06°10'20" A°	VEN 60 NEP STI 19°56'47" FIS 18°56'47" WAS 19°58'13" A° K?	VEN 90 CER STI 19°58'13" WAS 19°58'13" A° K?	<b>CER 45 CHI</b> WAS 05°20'22" FIS 08°21'21" STE 23°21'20" HI +5	MER 45 PAL FIS 08°21'21" STE 23°21'20" A°	PAL 90 ERI WID 23°41'22" WID 23°41'22" A°	VEN 120 JUP STI 23°54'21" STE 23°54'21" A° W	MER 135 EL6 FIS 12°10'52" WAA 27°10'54" HI +5	<b>CER 45 APO</b> WAS 22°01'17" WID 07°11'17" HI +5	VEN 150 GaZ STI 27°01'23" SCH 27°01'23" A°
12:54	12:28	03:20	04:37	05:22	10:00	14:21	06:42	22:14	18:35	14:26
VEN 135 GSZ STI 17°20'36" WAA 02°20'35" H +2	<b>SON 180 GSZ</b> WID 05°13'03" WAA 02°20'35" T -6	MER 30 CHI WID 05°13'03" WAA 02°20'35" A°	VEN 72 VAR STI 20°00'10" LOW 02°00'10" A°	VEN 144 GaZ STI 21°01'21" SCH 27°01'20" T -2	CHI 72 PAL WID 05°24'38" STE 23°24'38" SCH 27°01'21" A°	JUN 72 GaZ WAA 15°01'21" STE 23°41'22" SCH 27°01'21" A°	<b>MER 180 ORC</b> FIS 10°41'43" JUN 10°41'43" A°	<b>VES 144 HAU</b> ZWI 03°10'27" WAA 27°10'27" HI +5	VEN 30 KN1 WAS 22°01'17" KRE 03°29'24" HI +2	VEN 150 EL6 STI 27°08'34" WAA 27°08'34" H +2
15:43	13:19	03:49	07:50	07:43	12:03	16:19	12:07	21:49	15:35	
MAR 90 ERI STE 23°37'46" WID 23°37'45" A°	MER 60 URA STI 04°40'08" STE 04°41'59" T K ---	<b>URA 120 OUA</b> STI 04°41'59" STE 04°41'59" H?(62) 0+9	MER 30 APO WID 06°22'58" A°	SON 72 PAL WID 05°07'21" STE 23°07'21" A°	MER 45 JUP FIS 08°40'44" STE 23°40'43" A°	VES 120 GSZ ZWI 02°20'35" WAA 02°20'35" A°	<b>PAL 0 JUP</b> STE 23°56'54" T° -10	SON 150 ORC WID 10°39'03" JUN 10°39'03" H +3	<b>VEN 0 SED</b> STI 27°11'15" STI 27°11'14" H W +4	
18:42	14:02	05:21	11:44	13:28	12:03	23:10	18:32		18:32	
MER 120 KN1 FIS 03°57'59" KRE 03°57'59" A°	MER 60 OUA STI 04°41'47" STE 04°41'49" H +1	<b>MAR 0 PLU</b> STE 24°30'08" STE 24°30'08" HI +10	VEN 45 CHI STI 20°17'49" WID 05°17'49" A° W	<b>SON 0 CHI</b> WID 05°21'36" WID 05°21'36" A°	MER 45 ERI FIS 08°40'44" WID 23°40'45" A°	VEN 30 ERI STI 23°41'40" WID 23°41'40" A°	<b>MAR 0 SAJ</b> WAS 00°39'38" WAS 00°39'38" T -8			
	06:36	17:14	16:21	12:08	23:37		21:50			
	JUP 72 CHI STE 23°13'32" WID 05°13'32" A°	MAR 135 ORC STE 25°45'28" JUN 10°45'27" A°	VEN 144 JUN STI 21°28'21" WAA 15°28'22" A°	JUP 90 ERI STE 23°40'45" WID 23°40'45" A°	<b>PLU 72 APO</b> STE 24°47'25" WID 06°47'25" HI +11/0		VEN 144 KN2 STE 27°25'48" STE 03°25'48" A° W?			
	09:29	21:40	17:17	12:55			21:17			
	<b>CER 45 OUA</b> WAS 19°42'03" STE 04°42'03" HI +5	SON 90 OUA WID 04°42'23" STE 04°42'26" H +3	SON 45 APO WAS 20°31'03" WID 05°17'49" A°	MAR 30 GaZ STE 27°01'21" SCH 27°01'21" H +4			MER 72 SED FIS 15°11'25" STI 27°11'24" A°			
	18:26	23:45	18:02	16:50						
	VES 135 JUN ZWI 00°54'59" WAA 19°54'59" A°	SON 30 URA WID 04°47'37" STI 04°47'36" T ---	VEN 45 APO STI 21°32'29" WID 06°32'29" A°	<b>CER 135 MAK</b> WAS 20°51'36" WAA 05°51'36" HI +10						
	20:33	18:47	16:52							
	MER 150 MAK FIS 05°54'50" WAA 05°54'51" HI +7	SON 72 JUP WID 05°34'46" STE 23°34'47" T W ---	VEN 60 VAR ZWI 01°59'03" LOW 01°59'03" A°							
	21:23	20:51	17:00							
	VEN 135 OUA STI 19°42'12" STE 04°42'11" H +2	MER 144 VAR FIS 07°59'24" LOW 01°59'24" A°	MAR 120 SED STE 27°08'27" STI 27°08'28" T ---							
	22:23	19:30	20:07							
	NEP 72 VES FIS 18°58'33" ZWI 00°58'33" A° W	MER 72 GaZ FIS 09°01'20" SCH 27°01'21" T -1	MAR 90 EL6 STE 27°13'52" WAA 27°13'51" A°							
		21:09								
		<b>SON 0 APO</b> WID 06°40'03" WID 06°40'02" T W -6								
		22:48								
		MER 144 JUN FIS 09°10'32" WAA 15°10'31" HI 0/-7								
		23:47								
		SON 72 PLU WID 06°46'34" STE 24°46'34" T -6								

## März 2020: Fehlprognosen

Datum	Vorzeichen Symbol	Analyse
1.	+26 3 hr	Tief Charlotte I und II mit Kernen bei Schottland und über Südsandinavien. Der Tag schien wieder eine Impulsumkehrung zu sein. Auffällig war dabei der Aspekt Merkur 150° Varuna Hf um 13:39 UTC, wobei sich sowohl Merkur als auch Varuna in einer rückläufigen Relativbewegung gegenüber der Erde befanden. Solche Rückläufigkeiten wurden schon öfter bei Impulsumkehrungen beobachtet.
7.	-3 5 hr	Tief Elli lag um 0 UTC des 7. noch über Nordostdeutschland, doch setzte sich bis 12 UTC schon das Azorenhoch über unserer Region durch. <b>Flacher Index, auf 500 hPa zyklonal.</b>
11.	-5 5 hr	Azorenhoch. Aber noch mit dichter Bewölkung und Niederschlag. . <b>Flacher Index.</b>
13.	-7 / altern.+1 2 f	Azorenhoch mit Kern über der Biskaya. Aspekt Chiron 90° Quaoar H?* wurde exakt (siehe Tabelle). Wegen seines noch seltenen Auftretens war er nur im alternativen Index eingerechnet worden. <b>Flacher Index, auf 500 hPa zyklonal.</b>
14.	-10 3 hr	Hoch Helge über Nordsee. Mars 60° Neptun Tf W setzte sich nicht bis in die Bodenatmosphäre durch, wo an der Rückseite von Tief Gisela maritime Polarluft eingeflossen war. <b>Auf 500 hPa zyklonal.</b>
22.	-4 2-3 r	Hoch Jürgen mit Kernen über Südschweden und Finnland. <b>Flacher Index, auf 500 hPa zyklonal, einzelner negativer Tag.</b>
26.	+33 2 r	Tief Liebgard über Korsika. Fall des Premeteo-Index gegenüber dem Vortag und negativer Index am Folgetag. Die Sonne wechselte in ihrer Aspektierung von Sonne 180° Makemake Hf zu Sonne 0° Apogäum TW und Sonne 72° Pluto T.
29.	-12 5 hr	Hoch Keywan südlich von Island. <b>Einzelner, negativer Tag.</b> Es kam zu einem Kaltluftvorstoß mit starker Bewölkung und etwas Schneefall bis in die Niederungen, so dass das Wetter dem Premeteo-Index entsprach.



## Monatsauswertung (Lahr)

Mrz 20

### H-Wetterlagen

	Anzahl der Wetterlagen	Anzahl der Tage	Niederschlag in Liter	H*	Hf	H	T*	Tf	T	L
normal	4	25	31,1 / 51	11	6	19	1	1	16	4
anormal	0	0	0	0	0	0	0	0	0	0
gesamt	4	25	31,1 / 51	11	6	19	1	1	16	4

Verhältnis H/Tage = 36/25 = 1,44  
Verhältnis T/Tage = 18/25 = 0,72

### T-Wetterlagen

	Anzahl der Wetterlagen	Anzahl der Tage	Niederschlag in Liter	H*	Hf	H	T*	Tf	T	L
normal	2	3	21,7 / 30,5	0	0	0	1	0	2	0
anormal	2	3	0,6 / 0	3	3	4	0	0	4	0
gesamt	4	6	22,3 / 30,5	3	3	4	1	0	6	0

Verhältnis H/Tage = 10/6 = 1,67  
Verhältnis T/Tage = 7/6 = 1,17

ganzer Monat	Anzahl der Wetterlagen	Anzahl der Tage	Niederschlag in Liter	H*	Hf	H	T*	Tf	T	L
	8	31	53,4 / 81,5	14	9	23	2	1	22	4

Gesamtzahl H-Aspekte: 46  
Gesamtzahl T-Aspekte: 25  
Zahl aller Aspekte: 168  
Quotient H/T = 1,84  
Gesamtzahl L-Aspekte: 4

Niederschlag Durbach: s.o. hinter Schrägstrich

r = richtig hr = halbrichtig f = falsch

Symbolprognose in Tagen	9 r 18 hr 4 f
-------------------------	---------------

Premeteo-Index pro Tag	HWL +227/25 = +9,08	TWL +42/6 = +7
------------------------	---------------------	----------------

bezüglich des Vorzeichens richtige Tage	23	bezüglich des Vorzeichens falsche Tage	8
---	----	--	---

Bei der Auswertung des Januar 2017 wurde entdeckt, dass im Index 3 möglicherweise nur dann Auslösungsaspekte aktiviert werden, wenn der Konjunktionsplanet einen Aspekt mit einem Planeten bildet, der einen höheren Rang hat als der betroffene Konjunktionsplanet selbst. Dies bestätigte sich im Laufe des ganzen Jahres 2017. Manchmal entstand der Eindruck, dass die im korrigierten Index 3 nicht mehr angerechneten Aspekte auf 500 hpa zum Teil doch anwesend waren. Ab Januar 2018 werden nur noch die im Index 3 korrigierten Prognosen ausgewertet.